

# Synthesis and photoluminescence characteristics of $\text{SrAl}_2\text{O}_4:\text{Mn}^{4+}$ phosphor for LED applications

Byoung Su Choi, Jun Ho Lee\*, Sungu Hwang\*, Jin Kon Kim\*, Byeong Woo Lee\*\* and Hyun Cho\*<sup>†</sup>

*Department of Nano Fusion Technology, Pusan National University, Miryang 50463, Korea*

*\*Department of Nanomechatronics Engineering, Pusan National University, Busan 46241, Korea*

*\*\*Department of Ocean Advanced Materials Convergence Engineering, Korea Maritime & Ocean University, Busan 49112, Korea*

(Received January 19, 2023)

(Revised February 10, 2023)

(Accepted February 13, 2023)

**Abstract** A non-rare earth-based strontium-aluminate red light emitting phosphor was synthesized by a solid-state reaction method and the effect of synthesis temperature and  $\text{Mn}^{4+}$  activator concentration on the photoluminescence characteristics of the phosphor was studied. The synthesized  $\text{SrAl}_2\text{O}_4:\text{Mn}^{4+}$  phosphor showed broad band absorption characteristics in the near-ultraviolet and blue regions with peaks at wavelengths of near 330 and 460 nm, and a triple band deep red emission consisted of three peaks at near 644, 658, and 673 nm. The  $\text{SrAl}_2\text{O}_4:\text{Mn}^{4+}$  phosphor synthesized at a temperature 1600°C and a  $\text{Mn}^{4+}$  activator concentration of 0.5 mol% showed the strongest PL emission intensity, and concentration quenching was observed at concentrations higher than 0.7 mol%. FE-SEM and DLS particle size distribution analysis showed that the synthesized  $\text{SrAl}_2\text{O}_4:\text{Mn}^{4+}$  phosphor had a particle size distribution of 2~6.4  $\mu\text{m}$  and an irregular spherical shape with an average particle size of ~4  $\mu\text{m}$ .

**Key words**  $\text{SrAl}_2\text{O}_4:\text{Mn}^{4+}$  phosphor, Solid-state reaction, Photoluminescence characteristics, Deep red emission

## LED용 $\text{SrAl}_2\text{O}_4:\text{Mn}^{4+}$ 형광체 합성 및 발광특성 연구

최병수, 이준호\*, 황승구\*, 김진곤\*, 이병우\*\*, 조현\*<sup>†</sup>

부산대학교 나노융합기술학과, 밀양, 50463

\*부산대학교 나노메카트로닉스공학과, 부산, 46241

\*\*한국해양대학교 해양신소재융합공학과, 부산, 49112

(2023년 1월 19일 접수)

(2023년 2월 10일 심사완료)

(2023년 2월 13일 게재확정)

**요약** LED용 비희토류 기반 strontium-aluminate 계 적색 발광 형광체를 고상반응법으로 합성하였고, 합성온도 및  $\text{Mn}^{4+}$  활성제 첨가량이 형광체의 발광특성에 미치는 영향에 대하여 조사하였다. 합성된  $\text{SrAl}_2\text{O}_4:\text{Mn}^{4+}$  형광체는 330 및 460 nm 근처 파장에서 피크가 나타나는 근자외선 및 청색 영역의 광대역 흡광 특성과 644, 658, 및 673 nm 근처의 세 개의 피크로 이루어진 삼중밴드 형태의 deep red 발광 특성을 나타내었다. 합성온도 1600°C, 0.5 mol%  $\text{Mn}^{4+}$  이온 첨가량에서 합성된  $\text{SrAl}_2\text{O}_4:\text{Mn}^{4+}$  형광체가 가장 우수한 발광 특성을 나타내었고, 0.7 mol% 이상의 첨가량에서는 농도소광이 관찰되었다. FE-SEM 및 DLS 입도크기분포 분석 결과 합성된  $\text{SrAl}_2\text{O}_4:\text{Mn}^{4+}$  형광체 2~6.4  $\mu\text{m}$ 의 입도 분포 및 불규칙한 구형을 나타내며 약 4  $\mu\text{m}$ 의 평균 입자 크기를 갖는 것으로 조사되었다.

### 1. 서론

백색 발광 다이오드(w-LED)는 고효율, 소형화, 저전력 소비, 친환경성 및 긴 수명 등의 특성을 가져 각종 모바일 기기의 디스플레이 조명 및 일반 조명 시스템의 필수

요소로 자리잡았다. 현재 상용화된 w-LED는 III족 질화물 반도체 기반 청색 발광 LED 여기 광원과  $\text{YAG}:\text{Ce}^{3+}$  황색 형광체를 조합한 형태로 제조하는 방식을 가장 널리 사용하고 있는데 이러한 형태의 w-LED는 양자 수율이 높고 열안정성이 비교적 우수한 것으로 알려져 있다. 그러나  $\text{YAG}:\text{Ce}^{3+}$  단일 형광체로 제조된 w-LED는 적색 영역의 발광이 상대적으로 부족하기 때문에 낮은 연색지수(CRI)와 높은 상관색온도(CCT)를 가진 차가운 백색

<sup>†</sup>Corresponding author

E-mail: hyuncho@pusan.ac.kr

(Cool white) 발광특성을 나타내어 일반 조명 시스템에 사용하는데 있어 제한이 있다. 더 우수한 품질의 백색 발광 즉 따뜻한 백색(Warm white) 발광을 얻기 위한 기술적 해결책의 하나로 기존 w-LED의 부족한 적색 영역 발광을 보강할 수 있는 적색 형광체를 추가하는 방식이 제안되었다[1-6].

현재까지 진행된 적색 형광체 개발 연구에 있어서 활성화제(activator)로 가장 많이 보고된 금속 이온은  $Mn^{4+}$  및  $Eu^{2+}$  이온이다. 일반적으로 고온, 고압 및 무산소 환경에서 생성되는 희토류 금속 이온인  $Eu^{2+}$  이온을 활성화제로 많이 사용해왔지만, 넓은 발광영역으로 인한 광효율 손실이 발생하는 단점이 있다[7]. 희토류인  $Eu^{2+}$  이온보다 비용이 저렴한 비희토류  $Mn^{4+}$  이온은 산화물, 불화물, 알루미늄산염(aluminates), 티탄산염(titanates) 등 다양한 호스트 물질에서 효율적으로 활성화될 수 있어 매력적인 비희토류 활성화제로서 각광을 받고 있다[8-11].

또한,  $Mn^{4+}$  이온이 첨가된 발광체는 근자외선 및 청색 영역(200~500 nm)에서 좁은 영역의 광흡수 특성을 나타내는  $Eu^{2+}$  이온보다 우수한 여기 영역 및 광흡수 특성을 나타내고, 적색 및 근적외선 영역(600~780 nm)에서 좁은 영역(narrow band)의 발광특성을 나타낸다. 이러한 장점 때문에 최근  $Mn^{4+}$  이온을 활성화제로 사용한 적색 형광체에 대한 집중적인 연구가 진행되고 있다[12,13].

Strontium aluminate-계 물질은 높은 에너지 변환 효율과 우수한 열적 및 화학적 안정성을 가져 우수한 발광특성을 구현하는 호스트 물질로 알려져 있고, 현재까지 이 조성계의 대표적 물질인  $SrAl_2O_4$  호스트에  $Eu^{2+}$ ,  $Dy^{3+}$  등의 희토류 금속 이온을 활성화제로 첨가한 형광체의 특성에 대한 연구가 주로 수행되었다[14]. 특히 최근에  $SrAl_2O_4$  조성계에  $Mn^{4+}$  이온을 활성화제로 첨가한 형광체가 근자외선 및 청색 여기 광원 하에서 강한 적색 영역의 발광 특성을 나타내어 조명용 w-LED용 형광체로의 응용에 적합한 것으로 보고되었다[15]. 따라서 우수한 특성을 가지는 w-LED용 적색 형광체를 개발하기 위하여 이 물질 조성계에서 다양한 활성화제 첨가량 및 합성온도에 따른 흡광 및 발광특성에 대한 체계적인 연구가 필요하다.

본 연구에서는 w-LED용 비희토류 기반 strontium aluminate-계 형광체( $SrAl_2O_4:Mn^{4+}$ )를 합성하였다. 고상반응법으로 합성된 형광체의 흡광 및 발광특성에 영향을 미치는 공정변수인 합성 온도 및 활성화제의 첨가량이 형광체의 구조적 특성 및 발광특성에 미치는 영향을 조사하였다.

## 2. 실험 과정

$SrAl_2O_4:Mn^{4+}$  적색 형광체는 고상반응법으로 합성하였

으며, 호스트 물질과 활성화제의 출발 물질로  $SrCO_3$ (Alfa Aesar, 99.99%),  $Al_2O_3$ (Alfa Aesar, 99.99%)와  $MnCO_3$ (Alfa Aesar, 99.99%)를 각각 사용하였다. 화학량론적 조성을 가지는  $SrAl_2O_4$  합성이 가능한  $SrCO_3$ 와  $Al_2O_3$  및 활성화제 첨가량 0.1, 0.3, 0.5, 0.7, 0.9 mol%에 해당하는  $MnCO_3$ 를 칭량한 후 습식 ball mill 공정으로 균일하게 분쇄 및 혼합하였다. 혼합된 시료를 건조시킨 후 1300, 1400, 1500, 1600, 1700°C 온도영역, 대기 분위기 하에서 고상반응을 진행하였고, 합성된 형광체 시료들을 재분쇄한 뒤 구조적 특성과 흡광 및 발광 특성 분석을 진행하였다.

합성된 형광체의 결정상 등의 구조적 특성은 X선 회절분석기(X-ray diffractometer, Xpert 3)를 이용하여 분석하였고, 분석은  $Cu-K\alpha$ , 40 kV, 30 mA 조건 하에서 진행하였다. 형광체의 흡광 및 발광특성은 형광분광계(FluoroMate FS-2, SCINCO)를 이용하였고,  $Mn^{4+}$  이온 첨가량 및 합성온도에 따른 흡광 및 발광 스펙트럼을 측정하였다. 그리고 전계 방사형 주사전자현미경(FE-SEM, HITACHI S-4700)을 이용하여 합성한 형광체의 형상을 관찰하였으며, 입도분석기(Particle Size Analyzer, ELS-Z1)로 형광체의 평균 입도크기 및 분포를 확인하였다.

## 3. 결과 및 고찰

Figure 1은 각각 1300, 1400, 1500, 1600, 1700°C 온도에서 16시간 고상 반응시킨  $SrAl_2O_4:Mn^{4+}$  형광체의 X선 회절 패턴을 보여주고 있다. 이 때  $Mn^{4+}$  이온의 첨가 농도는 0.5 mol%로 동일하게 유지하였다. 1300°C

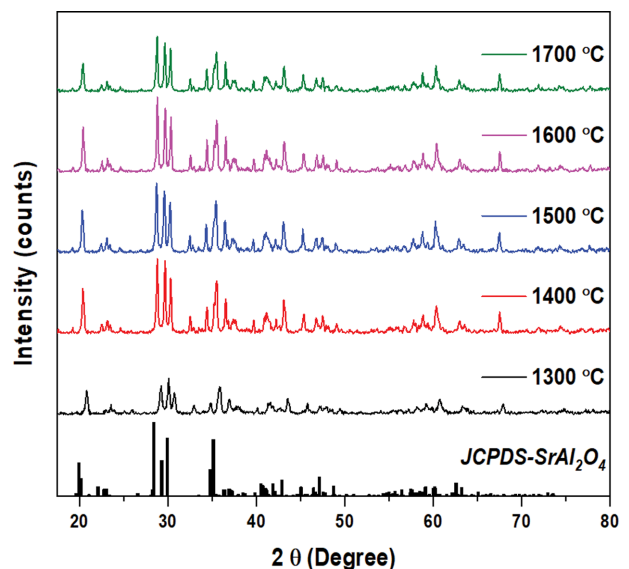


Fig. 1. X-ray diffraction patterns of 0.5 mol%  $Mn^{4+}$ -doped  $SrAl_2O_4$  phosphors synthesized at different temperatures.

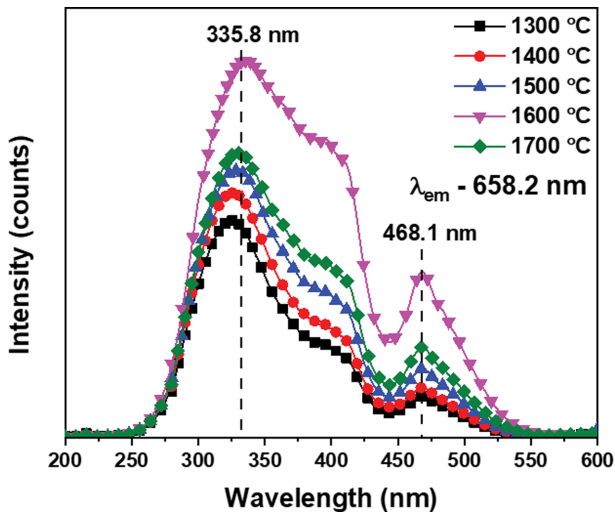


Fig. 2. The effect of calcination temperature on photoluminescence excitation spectra of the 0.5 mol% Mn<sup>4+</sup>-doped SrAl<sub>2</sub>O<sub>4</sub> red phosphor ( $\lambda_{em} = 658.2$  nm).

이상의 온도에서 합성된 SrAl<sub>2</sub>O<sub>4</sub>:Mn<sup>4+</sup> 형광체는 그림 하단부에 제시한 단사정계 SrAl<sub>2</sub>O<sub>4</sub>(JCPDS Card No. 34-0379)와 일치하는 회절 패턴을 나타내고 있음을 알 수 있다. 이로부터 합성된 형광체가 단사정계 SrAl<sub>2</sub>O<sub>4</sub> 단일상으로 이루어져 있고, Mn<sup>4+</sup> 이온의 첨가가 SrAl<sub>2</sub>O<sub>4</sub> 상 조성에 영향을 미치지 않음을 확인하였다. 또한 1300°C 온도에서 합성된 형광체의 XRD 패턴에서 미반응된 출발 원료의 회절 피크가 확인되지 않음에 따라 SrAl<sub>2</sub>O<sub>4</sub> 형광체의 고상반응 합성에 충분한 온도이고, 합성 온도가 증가함에 따라 각 회절 피크의 강도가 증가하는 것으로부터 합성된 형광체의 결정성이 향상됨을 확인하였다.

Figure 2는 서로 다른 고상반응 온도에서 합성된 0.5 mol% Mn<sup>4+</sup> 이온을 첨가한 SrAl<sub>2</sub>O<sub>4</sub>:Mn<sup>4+</sup> 형광체의 photoluminescence(PL) 흡광 스펙트럼(excitation spectra)을 발광 파장 658.2 nm 조건에서 측정된 결과이다. 1300~

1700°C 온도 영역에서 합성된 SrAl<sub>2</sub>O<sub>4</sub>:Mn<sup>4+</sup> 형광체 시편들 모두 동일하게 250~550 nm 파장 영역에 걸친 넓은 흡광 밴드를 가지며, 330 및 470 nm 근처 파장에서 흡광 피크가 나타남을 알 수 있다. 이 두 피크들은 Mn<sup>4+</sup> 이온의 <sup>4</sup>A<sub>2</sub> → <sup>4</sup>T<sub>2</sub> 및 <sup>4</sup>A<sub>2</sub> → <sup>4</sup>T<sub>1</sub> 전이에 의한 흡광에 기인한다[11]. 각 온도별 흡광 피크 강도를 비교하면 1300°C로부터 합성온도가 증가함에 따라 합성된 형광체의 흡광 효율은 증가하며 1600°C에서 가장 높은 피크 강도를 나타낸 이후 1700°C에서 다시 감소함을 알 수 있다. 이는 1300~1600°C 온도 구간에서 온도가 증가함에 따라 합성된 SrAl<sub>2</sub>O<sub>4</sub> 호스트의 결정성이 더 향상되고 격자 내 Mn<sup>4+</sup> 활성제 이온의 치환이 효율적으로 진행된 결과로 해석할 수 있다.

Figure 3에 0.5 mol% Mn<sup>4+</sup> 이온을 첨가한 SrAl<sub>2</sub>O<sub>4</sub>:Mn<sup>4+</sup> 형광체에 대해 여기 파장을 365 및 410 nm로 각각 고정한 조건에서 측정된 SrAl<sub>2</sub>O<sub>4</sub>:Mn<sup>4+</sup> 형광체의 PL 발광 스펙트럼을 비교하였다. 근자외선 및 청색 영역의 여기 파장에 의해 발생하는 Mn<sup>4+</sup> 이온의 <sup>2</sup>T<sub>1</sub> → <sup>4</sup>A<sub>2</sub> 및 <sup>2</sup>E → <sup>4</sup>A<sub>2</sub> 전이로 인해 644, 658 및 673 nm 근처의 삼중 피크로 구성된 deep red 영역의 적색 발광이 관찰되었다. 형광체 합성 온도에 따른 발광특성은 Fig. 2에 제시 하였던 흡광 특성과 유사한 경향성을 보여주며 1600°C에서 가장 높은 발광 강도를 나타냄을 확인하였다. 이 결과로부터 1600°C가 최적의 고상반응 온도임을 확인하였다.

앞에서 설명한 바와 같이 가장 우수한 SrAl<sub>2</sub>O<sub>4</sub>:Mn<sup>4+</sup> 형광체의 PL 흡광 및 발광 특성을 확보할 수 있었던 것으로 확인된 1600°C를 합성 온도로 고정한 상태에서 활성제 Mn<sup>4+</sup> 이온의 첨가량을 각각 0.1, 0.3, 0.5, 0.7, 0.9 mol%로 변화시킨 조건 하에서 SrAl<sub>2</sub>O<sub>4</sub>:Mn<sup>4+</sup> 형광체 합성을 진행하였다. 서로 다른 활성제 농도 조건에서 합성된 형광체의 XRD 분석을 진행하여 Mn<sup>4+</sup> 이온 첨가량이

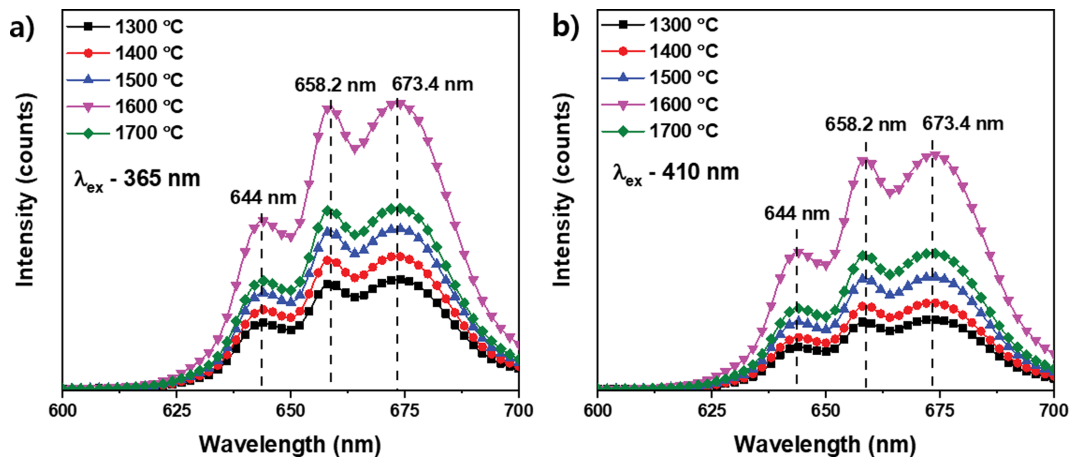


Fig. 3. Photoluminescence emission spectra of the 0.5 mol% Mn<sup>4+</sup>-doped SrAl<sub>2</sub>O<sub>4</sub> red phosphors synthesized at temperatures of 1300-1700°C in air, a)  $\lambda_{ex} = 365$  nm and b)  $\lambda_{ex} = 410$  nm.

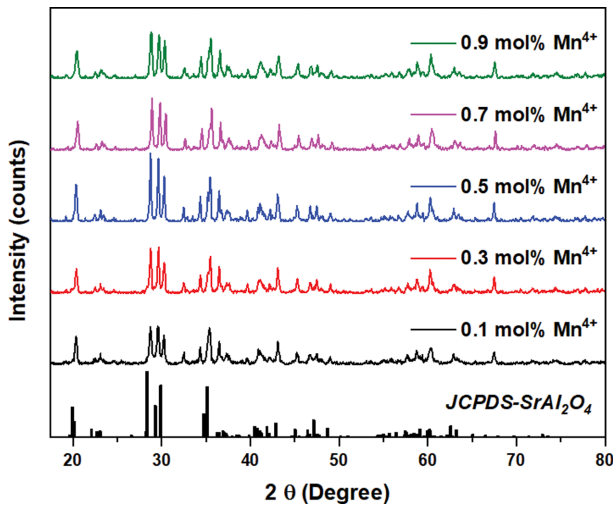


Fig. 4. X-ray diffraction patterns of the  $\text{SrAl}_2\text{O}_4:\text{Mn}^{4+}$  phosphors with different  $\text{Mn}^{4+}$  doping concentration prepared at  $1600^\circ\text{C}$ , in air.

$\text{SrAl}_2\text{O}_4:\text{Mn}^{4+}$  형광체의 구조적 특성에 미치는 영향을 조사하였다. 각 첨가량 조건별 X-선 회절 패턴을 Fig. 4에 제시하였다. Figure 4에서 보는 바와 같이 모든  $\text{Mn}^{4+}$

이온 첨가 조건에서 단사정계  $\text{SrAl}_2\text{O}_4$  결정상과 일치하는 회절 패턴을 나타냄에 따라 0.9 mol% 이하 농도의  $\text{Mn}^{4+}$  이온 첨가가  $\text{SrAl}_2\text{O}_4$  호스트 물질의 결정상에 영향을 주지 않음을 확인하였다.

Figure 5에 365 nm 및 410 nm 여기 파장 조건에서  $\text{Mn}^{4+}$  활성화제 이온 첨가량에 따른  $\text{SrAl}_2\text{O}_4:\text{Mn}^{4+}$  형광체의 PL 발광 스펙트럼을 제시하였고, Fig. 6에 첨가량별 644, 658.2, 673.4 nm 발광 피크의 상대 강도를 비교하였다.  $\text{Mn}^{4+}$  이온 첨가량을 0.1~0.5 mol% 농도로 증가시켰을 때는 첨가량이 점점 증가함에 따라  $\text{SrAl}_2\text{O}_4:\text{Mn}^{4+}$  형광체의 deep red 영역 발광 강도가 계속 증가하였다. 이와는 대조적으로 0.7 mol% 이상의 조건들에서는 활성화제 첨가량이 증가함에 따라 형광체의 발광 강도가 현저히 감소하는 농도 소광(concentration quenching)이 발생하는 것을 확인하였다. 0.7과 0.9 mol% 농도의  $\text{Mn}^{4+}$  활성화제 이온이 각각 첨가된  $\text{SrAl}_2\text{O}_4:\text{Mn}^{4+}$  형광체 시편들은 최고 발광 강도가 얻어진 0.5 mol% 조건에 비해 20% 이하의 약한 발광 강도를 나타내었다.

Figure 7은 가장 우수한 PL 흡광 및 발광효율을 나타내었던  $\text{Mn}^{4+}$  이온 첨가량 0.5 mol%, 온도  $1600^\circ\text{C}$  조건

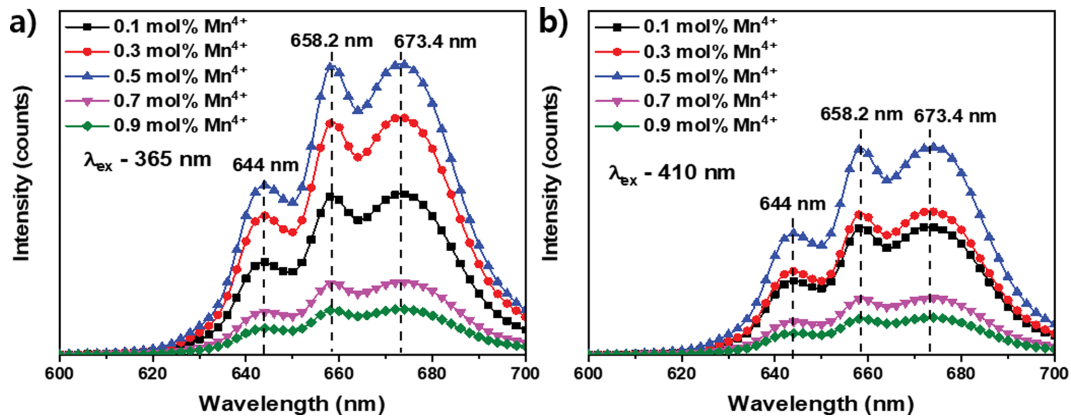


Fig. 5. Photoluminescence emission spectra of the  $\text{SrAl}_2\text{O}_4:\text{Mn}^{4+}$  phosphors with different  $\text{Mn}^{4+}$  doping concentration prepared at  $1600^\circ\text{C}$  in air. a)  $\lambda_{\text{ex}} = 365$  nm and b)  $\lambda_{\text{ex}} = 410$  nm.

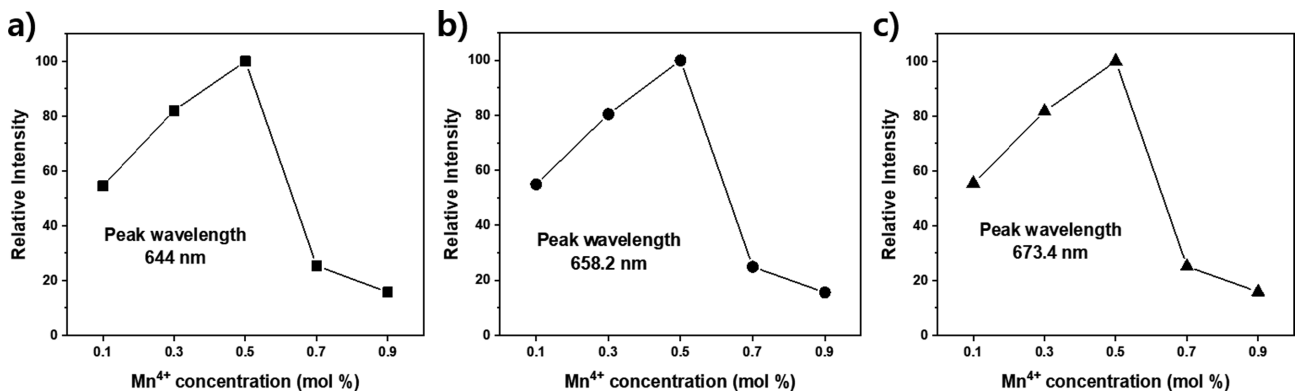


Fig. 6. Relative photoluminescence emission intensity of the  $\text{SrAl}_2\text{O}_4:\text{Mn}^{4+}$  phosphor synthesized at  $1600^\circ\text{C}$ , in air as a function of  $\text{Mn}^{4+}$  doping concentration. Peak emission wavelength at a) 644 nm, b) 658.2 nm, and c) 673.4 nm.

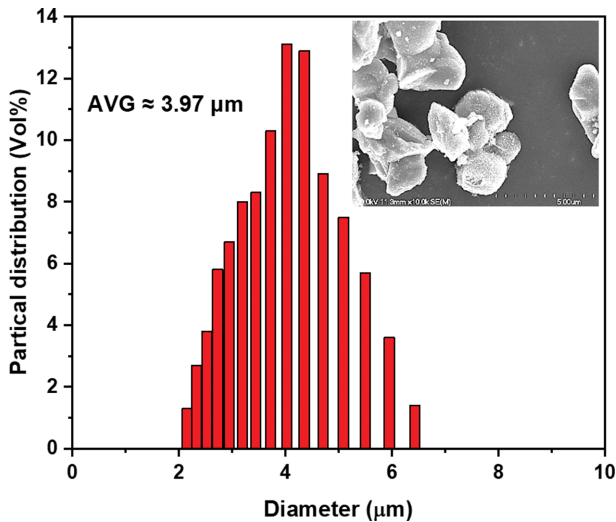


Fig. 7. Particle size distribution and a typical SEM image (inset) of the 0.5 mol% Mn<sup>4+</sup>-doped SrAl<sub>2</sub>O<sub>4</sub> phosphor synthesized at 1600°C, in air.

에서 합성된 SrAl<sub>2</sub>O<sub>4</sub>:Mn<sup>4+</sup> 형광체 분말을 FE-SEM으로 관찰한 이미지와 입도 크기 분석 결과를 보여주고 있다. 합성된 형광체는 불규칙한 구형의 형상을 나타내며 ~2~6.4 μm의 다소 넓은 입도 분포와 약 3.97 μm의 평균 입자크기를 갖는 것으로 확인하였다. 형광체 입자 간 응집 현상은 관찰되지 않았으며 FE-SEM 이미지와 유사한 크기의 입도 분포를 나타냄을 알 수 있었다.

#### 4. 결 론

고상반응법으로 비희토류 기반 strontium aluminate-계 적색 형광체를 합성하였고, 합성온도, 활성제 Mn<sup>4+</sup> 이온의 농도 변화가 형광체의 구조적 특성과 흡광 및 발광 특성에 미치는 영향을 확인하였다. XRD 분석 결과 1300~1700°C의 온도에서 합성된 형광체는 SrAl<sub>2</sub>O<sub>4</sub> 단일상으로 존재하고 0.9 mol% 이하 농도의 Mn<sup>4+</sup> 이온을 첨가하였을 때 호스트 물질의 결정상에는 영향을 미치지 않음을 확인하였다. 합성된 SrAl<sub>2</sub>O<sub>4</sub>:Mn<sup>4+</sup> 형광체는 근자외선 및 청색 여기 파장에서 330 및 460 nm 근처에서 피크를 나타내는 광대역 흡광 특성과 644 nm, 658 nm 및 673 nm 근처의 피크로 이루어진 삼중 밴드 형태의 deep red 영역의 발광 특성을 나타내었다. 활성제 Mn<sup>4+</sup> 이온 첨가량이 0.5 mol%일 때 가장 높은 발광 강도를 나타내며, 0.7 mol% 이상의 Mn<sup>4+</sup> 이온의 첨가는 농도 소광에 기인한 발광강도 감소가 관찰되었다. 0.5 mol% Mn<sup>4+</sup> 이온 첨가량, 1600°C 온도 조건에서 합성된 SrAl<sub>2</sub>O<sub>4</sub>:Mn<sup>4+</sup> 형광체가 가장 우수한 흡광 및 발광 효율을 나타내었다. 합성된 형광체는 불규칙한 구형으로 약 4 μm의 평균 입도

를 가지며 ~2~6.4 μm의 입도 분포를 갖는 것으로 조사되었다. 본 연구에서 합성한 SrAl<sub>2</sub>O<sub>4</sub>:Mn<sup>4+</sup> 형광체는 백색 LED 제조에 있어서 가장 널리 활용되고 있는 YAG:Ce<sup>3+</sup> 형광체의 부족한 적색 영역 발광을 보강하여 우수한 품질의 백색광(warm white light) 구현에 활용될 수 있을 것으로 기대된다.

#### 감사의 글

이 과제는 부산대학교 기본연구지원사업(2년)에 의하여 연구되었음.

#### References

- [1] P. Pust, P.J. Schmidt and W. Schnick, "A revolution in lighting", *Nat. Mater.* 14 (2015) 454.
- [2] D.Q. Chen, W.D. Xiang, X.J. Liang, J.S. Zhong, H. Yu, M.Y. Ding, H.W. Lu and Z.G. Ji, "Advances in transparent glass-ceramic phosphors for white light-emitting diodes—A review", *J. Eur. Ceram. Soc.* 35 (2015) 859.
- [3] H. Zhu, C.C. Lin, W. Luo, S. Shu, Z. Liu, Y. Liu, J. Kong, E. Ma, Y. Cao, R.-S. Liu and X. Chen, "Highly efficient non-rare-earth red emitting phosphor for warm white light-emitting diodes", *Nat. Commun.* 5 (2014) 1.
- [4] F. Yang, Z.P. Yang, Q.M. Yu, Y.F. Liu, X. Li and F.C. Lu, "Sm<sup>3+</sup>-doped Ba<sub>3</sub>Bi(PO<sub>4</sub>)<sub>3</sub> orange reddish emitting phosphor", *Spectrochem. Acta A* 105 (2013) 626.
- [5] B. Wang, H. Lin, J. Xu, H. Chen and Y. Wang, "CaMg<sub>2</sub>Al<sub>16</sub>O<sub>27</sub>:Mn<sup>4+</sup>-based red phosphor: A potential color converter for high-powered warm W-LED", *A.C.S. Appl. Mater. Interfaces* 6 (2014) 22905.
- [6] S.H. Choi, S.B. Kwon, J.H. Yoo, J.P. Kim, W.H. Kim, H.J. Jeong, B.Y. Kim, D.H. Yoon and Y.H. Song, "Fabrication and analysis of luminous properties of phosphor ceramic for laser headlamp in automotive application", *J. Korean Cryst. Growth Cryst. Technol.* 30 (2020) 73.
- [7] O.G. Jeong, J.C. Park, J.H. Ryu and H. Cho, "Luminescence properties of novel Sr-Y-Si-Oxynitride yellow phosphor for LED application", *J. Korean Cryst. Growth Cryst. Technol.* 23 (2013) 195.
- [8] L. Chen, X. Deng, E. Zhao, X. Chen, S. Xue, W. Zhang, S. Chen, Z. Zhao, W. Zhang and T. Chan, "The effect of electron cloud expansion on the red luminescence of Sr<sub>4</sub>Al<sub>14</sub>O<sub>25</sub>:Mn<sup>4+</sup> revealed by calculation of the Racah parameters", *J. Alloy Compd.* 613 (2014) 312.
- [9] Y. Takeda, H. Kato, M. Kabayashi, H. Kobayashi and M. Kakihana, "Photoluminescence properties of Mn<sup>4+</sup>-activated perovskite-type titanates, La<sub>2</sub>MTiO<sub>6</sub>:Mn<sup>4+</sup> (M=Mg and Zn)", *Chem. Lett.* 44 (2015) 1541.
- [10] Y. Jin, M.H. Fang, M. Grinberg, S. Mahlik, T. Lesniewski, M.G. Brik, G.Y. Luo and R.S. Liu, "Narrow red emission band fluoride phosphor KNaSiF<sub>6</sub>:Mn<sup>4+</sup> for warm white light-emitting diodes", *ACS Appl. Mater. Interfaces* 8 (2016) 11194.
- [11] B.S. Choi, D.H. Lee, J.H. Ryu and H. Cho, "Photolumi-

- nescence properties of  $Mn^{4+}$ -activated  $Li_2ZnSn_2O_6$  red phosphors”, *J. Ceram. Proc. Res.* 20 (2019) 80.
- [12] Z.B. Wang, I.H. Chu, F. Zhou and S.P. Ong, “Electronic structure descriptor for the discovery of narrow-band red-emitting phosphors”, *Chem. Mater.* 28 (2016) 4024.
- [13] R.-J. Xie, H.T. Bert Hintzen and D. Johnson, “Light converting inorganic phosphors for white light-emitting diodes”, *J. Am. Ceram. Soc.* 96 (2013) 665.
- [14] R.E. Rojas-Hernandez, F. Rubio-Marcos, R.H. Goncalves, M.Á. Rodriguez, E. Véron, M. Allix, C. Besada and J.F. Fernandez, “Original synthetic route to obtain a  $SrAl_2O_4$  phosphor by the molten salt method; Insights into the reaction mechanism and enhancement of the persistent luminescence”, *Inorg. Chem.* 54 (2015) 9896.
- [15] N.T.K. Chi, N.T. Tuan, N.T.K. Lien and D.H. Nguyen, “Red emission of  $SrAl_2O_4:Mn^{4+}$  phosphor for warm white light-emitting diodes”, *J. Electron. Mater.* 47 (2018) 4571.